

МИНИСТЕРСТВО НАУКИ И ВЫСШЕГО ОБРАЗОВАНИЯ  
РОССИЙСКОЙ ФЕДЕРАЦИИ

Федеральное государственное автономное  
образовательное учреждение высшего образования  
«Национальный исследовательский университет ИТМО»  
(Университет ИТМО)

Факультет систем управления и робототехники

ОТЧЕТ  
по лабораторной работе Е:  
УПРАВЛЕНИЕ МНОГОКАНАЛЬНОЙ СИСТЕМОЙ

Вариант 17

по дисциплине  
*«Теория автоматического управления»*

Студент:  
*Группа № R3338*

*А.А. Нечаева*

Предподаватель:  
*ассистент факультета СУиР, к. т. н.*

*А.В. Пашенко*

Санкт-Петербург 2025

## СОДЕРЖАНИЕ

1	ИССЛЕДОВАНИЕ СВОЙСТВ МНОГОКАНАЛЬНОЙ СИСТЕМЫ..	3
1.1	Собственные числа матрицы $A$ .....	3
1.2	Передаточная функция .....	4
1.3	Управляемость по состоянию и стабилизируемость .....	4
1.4	Наблюдаемость и обнаруживаемость .....	4
1.5	Управляемость по выходу .....	5
1.6	Временные характеристики системы.....	5
1.7	Частотные характеристики системы .....	6
1.8	Анализ результатов .....	10
2	СИНТЕЗ СЛЕДЯЩЕГО УПРАВЛЕНИЯ В УСЛОВИЯХ ВНЕШНИХ ВОЗМУЩЕНИЙ ДЛЯ МНОГОКАНАЛЬНОЙ СИСТЕМЫ.....	11
2.1	Управляемость по состоянию и стабилизируемость .....	13
2.2	Наблюдаемость и обнаруживаемость относительно выхода $y(t)$ и виртуального выхода (регулируемого) $z(t)$ .....	13
2.3	Управляемость по выходу $y(t)$ и виртуальному (регулируемому) выходу $z(t)$ .....	13
2.4	Передаточные матрицы системы .....	14
2.5	Матрицы и начальные условия генератора внешнего воздействия.....	14
2.6	Схема моделирования .....	16
2.7	Эталонная модель замкнутой системы.....	16
2.8	Синтез компоненты $K_w$ регулятора .....	17
2.9	Синтез наблюдателей .....	19
2.10	Компьютерное моделирование .....	21
2.11	Анализ результатов .....	27
3	ВЫВОД .....	28

# 1 ИССЛЕДОВАНИЕ СВОЙСТВ МНОГОКАНАЛЬНОЙ СИСТЕМЫ.

Рассмотрим многоканальную систему

$$\begin{cases} \dot{x} = Ax + Bu \\ y = Cx \end{cases}, \quad (1)$$

где

$$A = \begin{bmatrix} 0 & 1 \\ 2 & -1 \end{bmatrix}, B = \begin{bmatrix} 1 & 2 \\ -1 & 4 \end{bmatrix}, C = \begin{bmatrix} 1 & 2 \\ -4 & 1 \end{bmatrix} \quad (2)$$

и выполним следующие шаги:

- Определим собственные числа матрицы  $A$
- Определим передаточную матрицу многоканальной системы. Рассчитаем нули и полюса системы, сравним с собственными числами матрицы  $A$ .
- Исследуем систему (1) на:
  - управляемость по состоянию и стабилизируемость;
  - наблюдаемость и обнаруживаемость;
  - управляемость по выходу.
- Выведем аналитические выражения для временных (переходной и весовой) характеристик системы. Приведем графическое представление рассчитанных характеристик.
- Выведем аналитические выражения для частотных (АЧХ, ФЧХ, ЛАЧХ и ЛФЧХ) характеристик системы. Приведем графическое представление рассчитанных характеристик.

## 1.1 Собственные числа матрицы $A$

Определим собственные числа матрицы  $A$

$$A = \begin{bmatrix} 0 & 1 \\ 2 & -1 \end{bmatrix} \Rightarrow \begin{cases} \lambda_1 = 1 \\ \lambda_2 = -2 \end{cases} \quad (3)$$

## 1.2 Передаточная функция

Определим передаточную матрицу многоканальной системы

$$\begin{aligned} \begin{cases} \dot{x} = Ax + Bu \\ y = Cx \end{cases} &\Rightarrow \begin{cases} sX = AX + BU \\ Y = CX \end{cases} \Rightarrow \begin{cases} X = (sI - A)^{-1}BU \\ Y = CX \end{cases} \Rightarrow \\ &\Rightarrow Y = C(sI - A)^{-1}BU \Rightarrow \\ &\Rightarrow W_{u \rightarrow y} = C(sI - A)^{-1}B = \begin{bmatrix} -\frac{s-4}{s^2+s-2} & \frac{10s+14}{s^2+s-2} \\ -\frac{5s-2}{s^2+s-2} & -\frac{4s+20}{s^2+s-2} \end{bmatrix} \end{aligned} \quad (4)$$

Для нахождения нулей и полюсов системы вычислим определитель передаточной матрицы, получим

$$\det\{W_{u \rightarrow y}\} = \frac{54}{(s-1)(s+2)} \quad (5)$$

следовательно, нули системы  $\emptyset$ , полюса  $s = 1; -2$ . Заметим, что полюса системы совпадают с собственными числами матрицы  $A$ .

## 1.3 Управляемость по состоянию и стабилизируемость

Составим матрицу управляемости и вычислим ее ранг

$$U = \begin{bmatrix} B & AB \end{bmatrix} = \begin{bmatrix} 1 & 2 & -1 & 4 \\ -1 & 4 & 3 & 0 \end{bmatrix} \Rightarrow \text{rank}(U) = 2 \quad (6)$$

Ранг  $U$  равен размерности системы, следовательно, система управляема и стабилизируема.

## 1.4 Наблюдаемость и обнаруживаемость

Составим матрицу управляемости и вычислим ее ранг

$$V = \begin{bmatrix} C \\ CA \end{bmatrix} = \begin{bmatrix} 1 & 2 \\ -4 & 1 \\ 4 & -1 \\ 2 & -5 \end{bmatrix} \Rightarrow \text{rank}(V) = 2 \quad (7)$$

Ранг  $V$  равен размерности системы, следовательно, система наблюдаема и обнаруживаема.

## 1.5 Управляемость по выходу

Составим матрицу для определения управляемости по выходу и вычислим ранг

$$U_{out} = [CU \ D] = \begin{bmatrix} -1 & 10 & 5 & 4 & 0 & 0 \\ -5 & -4 & 7 & -16 & 0 & 0 \end{bmatrix} \Rightarrow \text{rank}(U_{out}) = 2 \quad (8)$$

Ранг матрицы  $U_{out}$  равен количеству выходов, следовательно, система управляема по выходу.

## 1.6 Временные характеристики системы

Найдем весовую функцию системы

$$W_{u \rightarrow y} = \begin{bmatrix} \frac{4-s}{s^2+s-2} & \frac{10s+14}{s^2+s-2} \\ \frac{2-5s}{s^2+s-2} & -\frac{4s+20}{s^2+s-2} \end{bmatrix} = \begin{bmatrix} \frac{1}{s-1} - \frac{2}{s+2} & \frac{8}{s-1} + \frac{2}{s+2} \\ -\frac{1}{s-1} - \frac{4}{s+2} & \frac{8}{s-1} - \frac{4}{s+2} \end{bmatrix} \quad (9)$$

$$y_{i.r.} = \mathcal{L}^{-1}\{W_{u \rightarrow y}\} = \begin{bmatrix} e^t - 2e^{-2t} & 8e^t + 2e^{-2t} \\ -e^t - 4e^{-2t} & 8e^t - 4e^{-2t} \end{bmatrix} \quad (10)$$

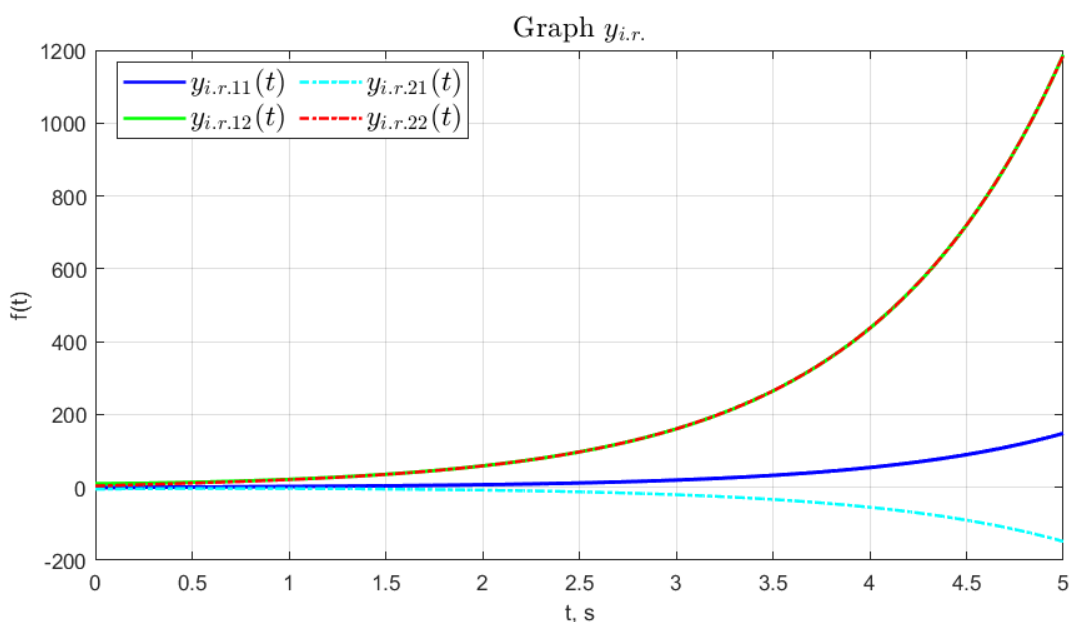


Рисунок 1 — График весовой функции системы.

Найдем переходную функцию системы

$$\begin{aligned}
 y_{s.r.} &= \mathcal{L}^{-1} \left\{ \frac{W_{u \rightarrow y}}{s} \right\} = \mathcal{L}^{-1} \left\{ \begin{bmatrix} \frac{1}{s(s-1)} - \frac{2}{s(s+2)} & \frac{8}{s(s-1)} + \frac{2}{s(s+2)} \\ -\frac{1}{s(s-1)} - \frac{4}{s(s+2)} & \frac{8}{s(s-1)} - \frac{4}{s(s+2)} \end{bmatrix} \right\} = \\
 &= \mathcal{L}^{-1} \left\{ \begin{bmatrix} \frac{1}{s-1} - \frac{2}{s} + \frac{1}{s+2} & \frac{8}{s-1} - \frac{7}{s} - \frac{1}{s+2} \\ -\frac{1}{s} - \frac{1}{s-1} + \frac{2}{s+2} & \frac{8}{s-1} - \frac{10}{s} + \frac{2}{s+2} \end{bmatrix} \right\} = \\
 &= \begin{bmatrix} e^t - 2 + e^{-2t} & 8e^t - 7 - e^{-2t} \\ -e^t - 1 + 2e^{-2t} & 8e^t - 10 + 2e^{-2t} \end{bmatrix} \quad (11)
 \end{aligned}$$

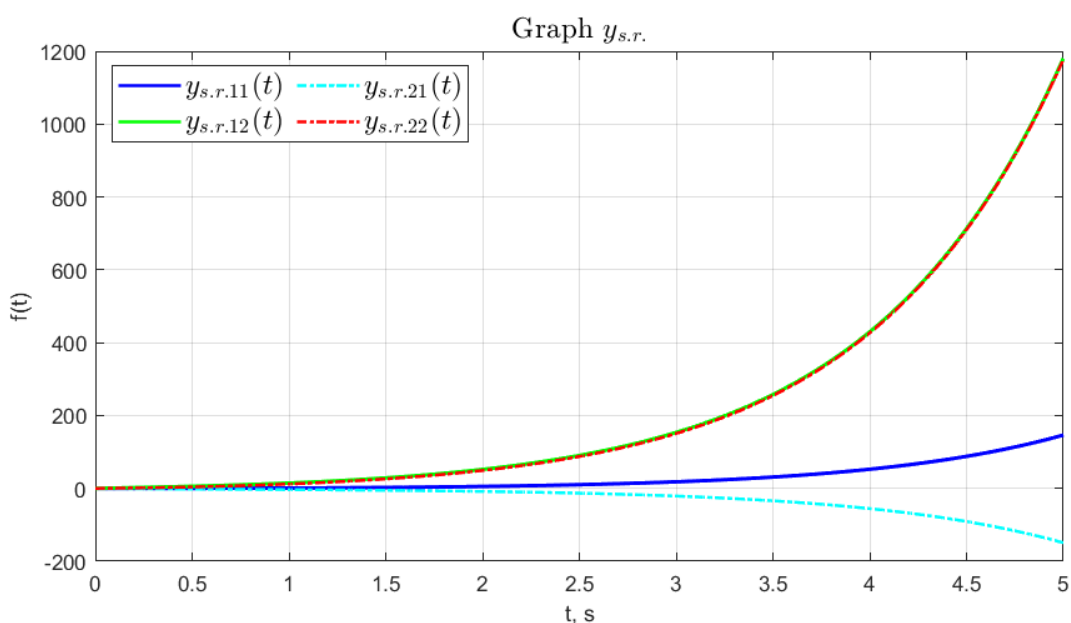


Рисунок 2 — График переходной функции системы.

## 1.7 Частотные характеристики системы

Найдем аналитические выражения для частотных характеристик системы.

Заменим в передаточной матрице  $s$  на  $i\omega$

$$\begin{aligned}
 W_{u \rightarrow y} &= \begin{bmatrix} \frac{4-s}{s^2+s-2} & \frac{10s+14}{s^2+s-2} \\ \frac{2-5s}{s^2+s-2} & -\frac{4s+20}{s^2+s-2} \end{bmatrix} = \begin{bmatrix} \frac{4-i\omega}{-\omega^2+i\omega-2} & \frac{10i\omega+14}{-\omega^2+i\omega-2} \\ \frac{2-5i\omega}{-\omega^2+i\omega-2} & -\frac{4i\omega+20}{-\omega^2+i\omega-2} \end{bmatrix} = \\
 &= \begin{bmatrix} \frac{(4-i\omega)(-\omega^2-2-i\omega)}{(\omega^2+2)^2-\omega^2} & \frac{(10i\omega+14)(-\omega^2-2-i\omega)}{(\omega^2+2)^2-\omega^2} \\ \frac{(2-5i\omega)(-\omega^2-2-i\omega)}{(\omega^2+2)^2-\omega^2} & -\frac{(4i\omega+20)(-\omega^2-2-i\omega)}{(\omega^2+2)^2-\omega^2} \end{bmatrix} = \\
 &= \begin{bmatrix} \frac{-5\omega^2-8-6i\omega-i\omega^3}{(\omega^2+2)^2-\omega^2} & \frac{-10i\omega^3-4\omega^2-28-34i\omega}{(\omega^2+2)^2-\omega^2} \\ \frac{-7\omega^2+5i\omega^3-4+8i\omega}{(\omega^2+2)^2-\omega^2} & \frac{4i\omega^3+16\omega^2-40+28i\omega}{(\omega^2+2)^2-\omega^2} \end{bmatrix} \quad (12)
 \end{aligned}$$

Амплитудно-частотная характеристика (рисунок 3)

$$A(\omega) = \sqrt{P(\omega) \cdot P(\omega) + Q(\omega) \cdot Q(\omega)}, \quad (13)$$

где  $P(\omega) = Re(W)$ ,  $Q(\omega) = Im(W)$ ,  $\cdot$  – поэлементное умножение матриц.

$$P(\omega) = \begin{bmatrix} \frac{-5\omega^2-8}{(\omega^2+2)^2-\omega^2} & \frac{-4\omega^2-28}{(\omega^2+2)^2-\omega^2} \\ \frac{-7\omega^2-4}{(\omega^2+2)^2-\omega^2} & \frac{16\omega^2-40}{(\omega^2+2)^2-\omega^2} \end{bmatrix} \quad (14)$$

$$Q(\omega) = \begin{bmatrix} \frac{-6\omega-\omega^3}{(\omega^2+2)^2-\omega^2} & \frac{-10\omega^3-34\omega}{(\omega^2+2)^2-\omega^2} \\ \frac{5\omega^3+8\omega}{(\omega^2+2)^2-\omega^2} & \frac{4\omega^3+28\omega}{(\omega^2+2)^2-\omega^2} \end{bmatrix} \quad (15)$$

Логарифмическая АЧХ (рисунок 4) найдена по следующей формуле

$$L(\omega) = 20 \lg(A(\omega)) \quad (16)$$

Фазово-частотная характеристика (рисунок 5)

$$\phi_i(\omega) = \text{atan2} \frac{Q_i(\omega)}{P_i(\omega)} \quad (17)$$

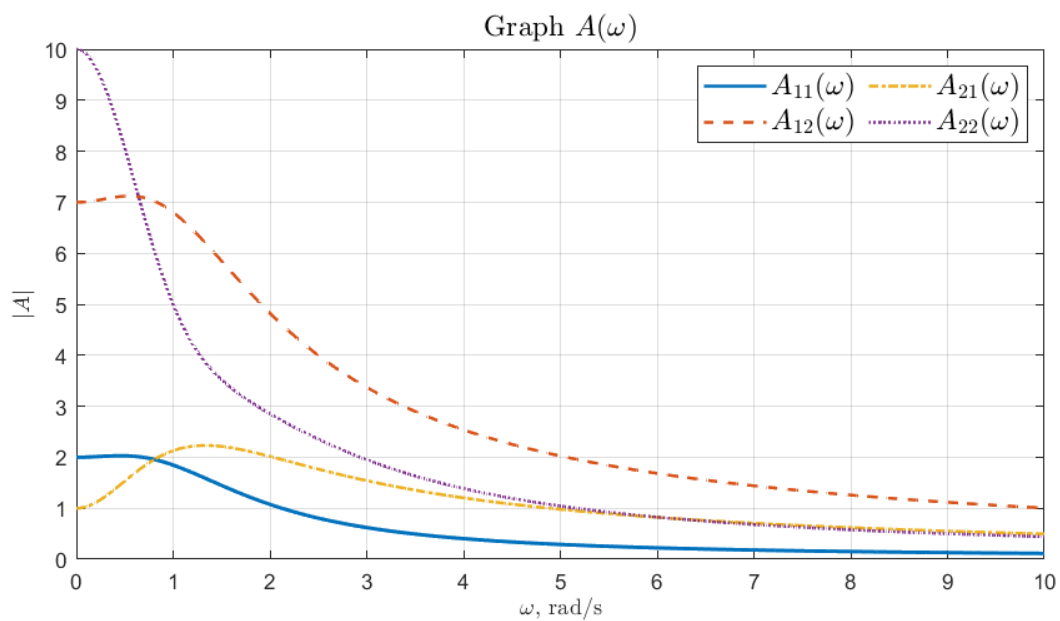


Рисунок 3 — График АЧХ.

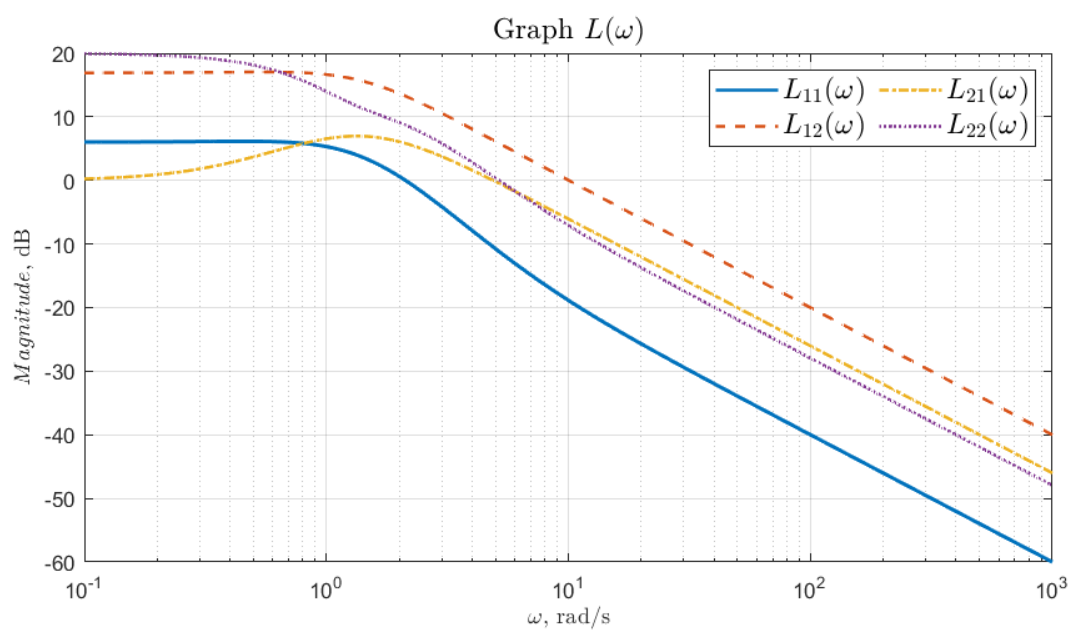


Рисунок 4 — График ЛАЧХ.



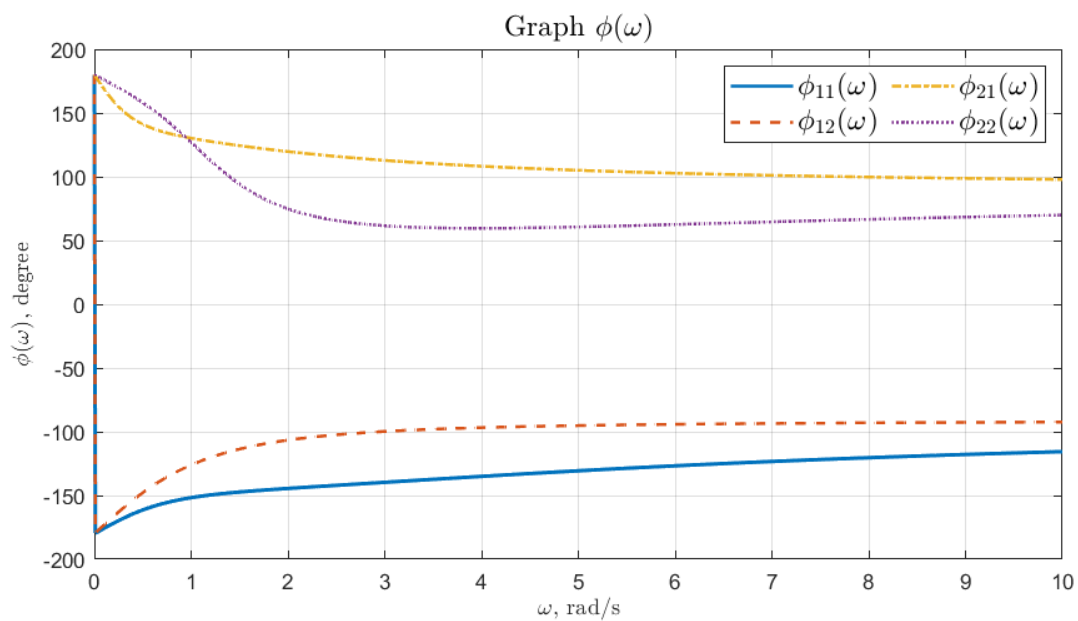


Рисунок 5 — График ФЧХ.

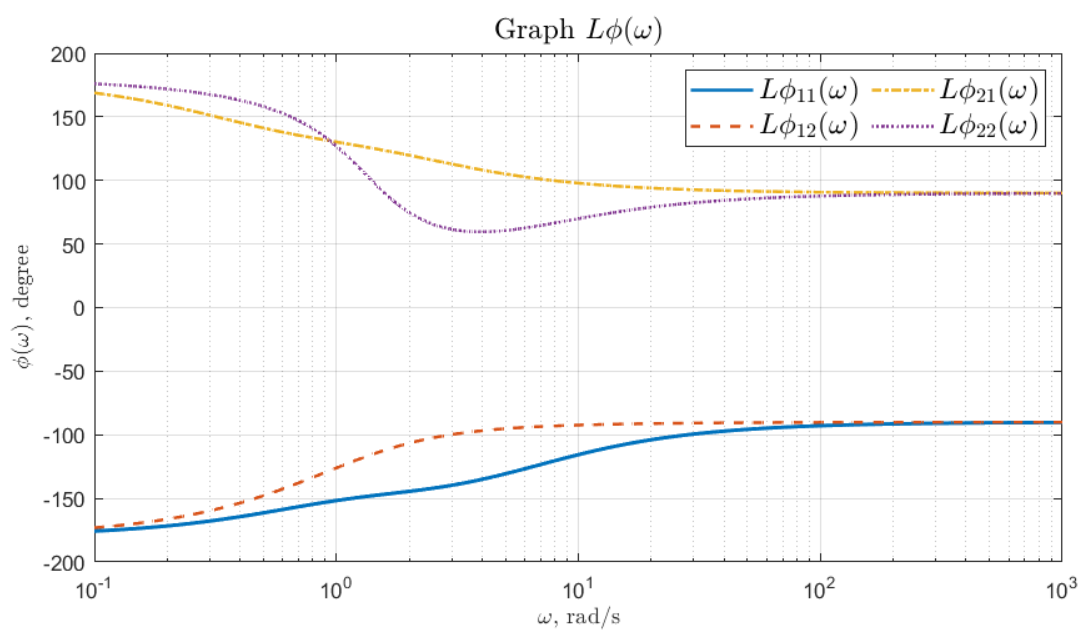


Рисунок 6 — График ЛФЧХ.

## 1.8 Анализ результатов

В результате выполнения данного задания была синтезирована передаточная матрица многоканальной системы, найдены полюса и нули системы. Выяснено, что полюса передаточной матрицы совпадают со спектром матрицы  $A$ . Проведено исследование на управляемость по состоянию и по выходу и наблюдаемость. Вычисленны временные и частотные характеристики системы, построены соответствующие графики.

## 2 СИНТЕЗ СЛЕДЯЩЕГО УПРАВЛЕНИЯ В УСЛОВИЯХ ВНЕШНИХ ВОЗМУЩЕНИЙ ДЛЯ МНОГОКАНАЛЬНОЙ СИСТЕМЫ.

Рассмотрим многоканальную систему

$$\begin{cases} \dot{x} = Ax + Bu + B_f f_1 \\ z = C_z x + D_z u - g \\ y = Cx + Du + D_f f_2 \end{cases} \quad x(0) = \begin{bmatrix} 1 \\ 1 \end{bmatrix}, \quad (18)$$

где

$$A = \begin{bmatrix} 0 & 1 \\ 2 & -1 \end{bmatrix}, B = \begin{bmatrix} 1 & 2 \\ -1 & 4 \end{bmatrix}, C = \begin{bmatrix} 1 & 2 \\ -4 & 1 \end{bmatrix}, D = \begin{bmatrix} 4 & 0 \\ 0 & -1 \end{bmatrix},$$
$$B_f = \begin{bmatrix} 1 & 2 \\ -1 & 1 \end{bmatrix}, D_f = \begin{bmatrix} -1 & 0 \\ 0 & -1 \end{bmatrix}, C_z = \begin{bmatrix} 2 & 0 \\ -1 & 1 \end{bmatrix}, D_z = \begin{bmatrix} 1 & 0 \\ 0 & 4 \end{bmatrix}$$

$$f_1(t) = \begin{bmatrix} 4 \cos(6t) \\ 3 \sin(2t) \end{bmatrix}, f_2 = \begin{bmatrix} 5 \sin(2t) \\ 3 \cos(6t) \end{bmatrix}, g(t) = \begin{bmatrix} 5 \sin(3t) \\ 5 \cos(3t) \end{bmatrix}$$

Считая доступными к измерению только величины  $y(t)$  и  $g(t)$ , выполним следующие шаги:

- Исследуем систему (18) на:
  - управляемость по состоянию и стабилизируемость;
  - наблюдаемость и обнаруживаемость относительно выхода  $y(t)$  и виртуального (регулируемого) выхода  $z(t)$ ;
  - управляемость по выходу  $y(t)$  и виртуальному (регулируемому) выходу  $z(t)$
- Составим передаточные матрицы системы (18) от управляющих воздействий  $u(t)$  к выходу  $y(t)$  и виртуальному (регулируемому) выходу  $z(t)$ , проверим их на вырожденность.
- Определим матрицы и начальные условия генератора внешнего воздействия

$$\begin{cases} \dot{w} = \Gamma_w w \\ g = Y_g w \\ f_1 = Y_1 w \\ f_2 = Y_2 w \end{cases} \quad w(0) \quad (19)$$

- Построим схему моделирования системы (18), замкнутой регулятором, состоящим из необходимых для решения данной задачи управления наблюдателей и закона управления

$$u = K\hat{x} + K_w\hat{w}, \quad (20)$$

обеспечивающим выполнение целевого условия

$$\lim_{t \rightarrow \infty} z(t) = 0 \quad (21)$$

- Зададимся эталонной моделью замкнутой системы на основании требований

$$1 < |Re(\lambda_i^*)| < 4, \quad 0 \leq |Im(\lambda_i^*)| < 3 \quad (22)$$

Синтезируем «feedback»-компоненту  $K$  регулятора (20) при помощи матричных уравнений типа Сильвестра, предварительно проверив условия существования единственного невырожденного решения.

- Составим систему матричных уравнений Франкиса-Дэвисона для синтеза компоненты  $K_w$  регулятора (20), проверим условие существования решения системы уравнений и синтезируем  $K_w$ .
- Синтезируем необходимые для выполнения целевого условия (21) при помощи управления (20) наблюдатели.
- Выполним компьютерное моделирование замкнутой системы с нулевыми начальными условиями наблюдателей. Построим график формируемого регулятором управления  $u(t)$ , графики внешних воздействий  $f_1(t)$ ,  $f_2(t)$  и  $g(t)$ , сравнительные графики векторов состояния системы  $x(t)$  и генератора  $w(t)$  и их оценок, а также ошибок оценки  $e(t)$ , графики фактического и виртуального (регулируемого) выходов  $y(t)$  и  $z(t)$

## 2.1 Управляемость по состоянию и стабилизируемость

Составим матрицу управляемости и найдем ее ранг

$$U = \begin{bmatrix} B & AB \end{bmatrix} = \begin{bmatrix} 1 & 2 & -1 & 4 \\ -1 & 4 & 3 & 0 \end{bmatrix} \Rightarrow \text{rank}(U) = 2 \quad (23)$$

Ранг матрицы  $U$  равен размерности системы, следовательно, система управляема по состоянию и стабилизируема.

## 2.2 Наблюдаемость и обнаруживаемость относительно выхода $y(t)$ и виртуального выхода (регулируемого) $z(t)$

Составим матрицы наблюдаемости и вычислим их ранг относительно  $y(t)$

$$V_y = \begin{bmatrix} C \\ CA \end{bmatrix} = \begin{bmatrix} 1 & 2 \\ -4 & 1 \\ 4 & -1 \\ 2 & -5 \end{bmatrix} \Rightarrow \text{rank}(V_y) = 2 \quad (24)$$

и виртуального выхода (регулируемого)  $z(t)$

$$V_z = \begin{bmatrix} C_z \\ C_z A \end{bmatrix} = \begin{bmatrix} 2 & 0 \\ -1 & 1 \\ 0 & 2 \\ 2 & -2 \end{bmatrix} \Rightarrow \text{rank}(V_z) = 2 \quad (25)$$

Ранги матриц  $V_y$  и  $V_z$  равны размерности системы, следовательно система наблюдаема и обнаруживаема относительно выходов  $y(t)$  и  $z(t)$ .

## 2.3 Управляемость по выходу $y(t)$ и виртуальному (регулируемому) выходу $z(t)$

Составим матрицы управляемости по выходу  $y(t)$

$$U_{out,y} = \begin{bmatrix} CU & D \end{bmatrix} = \begin{bmatrix} -1 & 10 & 5 & 4 & 4 & 0 \\ -5 & -4 & 7 & -16 & 0 & -1 \end{bmatrix} \Rightarrow \text{rank}(U_{out,y}) = 2 \quad (26)$$

и  $z(t)$

$$U_{out,z} = \begin{bmatrix} CU & D_z \end{bmatrix} = \begin{bmatrix} -1 & 10 & 5 & 4 & 1 & 0 \\ -5 & -4 & 7 & -16 & 0 & 4 \end{bmatrix} \Rightarrow rank(U_{out,z}) = 2 \quad (27)$$

Ранги матриц  $U_{out,y}$  и  $U_{out,z}$  равны размерности выхода системы, следовательно, система является управляемой по выходу  $y(t)$  и  $z(t)$ .

## 2.4 Передаточные матрицы системы

Составим передаточные матрицы системы (18) от управляющих воздействий  $u(t)$  к выходу  $y(t)$

$$W_{u \rightarrow y}(s) = C(sI - A)^{-1}B + D = \begin{bmatrix} \frac{4s^2+3s-4}{s^2+s-2} & \frac{2(5s+7)}{s^2+s-2} \\ -\frac{5s-2}{s^2+s-2} & -\frac{s^2+5s+18}{s^2+s-2} \end{bmatrix} \quad (28)$$

и виртуальному (регулируемому) выходу  $z(t)$

$$W_{u \rightarrow z}(s) = C_z(sI - A)^{-1}B + D_z = \begin{bmatrix} \frac{s^2+3s-2}{s^2+s-2} & \frac{4(s+3)}{s^2+s-2} \\ -\frac{2}{s+2} & \frac{2(2s+5)}{s+2} \end{bmatrix} \quad (29)$$

Проверим передаточные матрицы на вырожденность, для этого найдем определители каждой из них и сравним с нулем

$$\det(W_{u \rightarrow y}(s)) = -\frac{4s+11}{s-1} \neq 0 \quad (30)$$

$$\det(W_{u \rightarrow z}(s)) = \frac{2(2s^2+7s+1)}{s^2+s-2} \neq 0 \quad (31)$$

Передаточные матрицы  $W_{u \rightarrow y}(s)$  и  $W_{u \rightarrow z}(s)$  невырождены.

## 2.5 Матрицы и начальные условия генератора внешнего воздействия

Определим матрицы и начальные условия генератора внешнего воздействия

$$\begin{cases} \dot{w} = \Gamma_w w \\ g = Y_g w \\ f_1 = Y_1 w \\ f_2 = Y_2 w \end{cases} \quad w(0) \quad (32)$$

Рассмотрим заданные сигналы  $f_1(t)$ ,  $f_2(t)$  и  $g(t)$

$$f_1(t) = \begin{bmatrix} 4 \cos(6t) \\ 3 \sin(2t) \end{bmatrix}, f_2 = \begin{bmatrix} 5 \sin(2t) \\ 3 \cos(6t) \end{bmatrix}, g(t) = \begin{bmatrix} 5 \sin(3t) \\ 5 \cos(3t) \end{bmatrix}$$

Составим матрицу  $\Gamma_w$  так, чтобы включить в ее спектр все требуемые гармоники

$$\Gamma_w = \begin{bmatrix} 0 & -6 & 0 & 0 & 0 & 0 \\ 6 & 0 & 0 & 0 & 0 & 0 \\ 0 & 0 & 0 & -2 & 0 & 0 \\ 0 & 0 & 2 & 0 & 0 & 0 \\ 0 & 0 & 0 & 0 & 0 & -3 \\ 0 & 0 & 0 & 0 & 3 & 0 \end{bmatrix} \quad (33)$$

$$Y_g = \begin{bmatrix} 0 & 0 & 0 & 0 & 2.5 & 2.5 \\ 0 & 0 & 0 & 0 & 2.5 & 2.5 \end{bmatrix} \quad (34)$$

$$Y_1 = \begin{bmatrix} 0 & 0 & 0 & 3 & 0 & 0 \\ 4 & 0 & 0 & 0 & 0 & 0 \end{bmatrix} \quad (35)$$

$$Y_2 = \begin{bmatrix} 3 & 0 & 0 & 0 & 0 & 0 \\ 0 & 0 & 0 & 5 & 0 & 0 \end{bmatrix} \quad (36)$$

Начальные условия

$$w(0) = \begin{bmatrix} 1 & 0 & 1 & 0 & 1 & 1 \end{bmatrix}^T \quad (37)$$

## 2.6 Схема моделирования

Построим схему моделирования системы (18), замкнутой регулятором, состоящим из необходимых для решения данной задачи управления наблюдателей и закона управления

$$u = K\hat{x} + K_w\hat{w} \Rightarrow u = \bar{K}\hat{x}_w, \quad (38)$$

где

$$\hat{x}_w = \begin{bmatrix} \hat{w} \\ \hat{x} \end{bmatrix}, \quad \bar{K} = \begin{bmatrix} K_w & K \end{bmatrix} \quad (39)$$

Преобразуем также систему и дополним ее модель генератором внешнего воздействия

$$\begin{cases} \dot{x}_f = \bar{A}x_f + \bar{B}u \\ y_f = y - g = \bar{C}x_f + Du, \end{cases} \quad (40)$$

где

$$x_f = \begin{bmatrix} w \\ x \end{bmatrix}, \quad \bar{A} = \begin{bmatrix} \Gamma_w & 0 \\ B_f Y_1 & A \end{bmatrix}, \quad \bar{B} = \begin{bmatrix} 0 \\ B \end{bmatrix}, \quad \bar{C} = \begin{bmatrix} D_f Y_2 - Y_g & C \end{bmatrix} \quad (41)$$

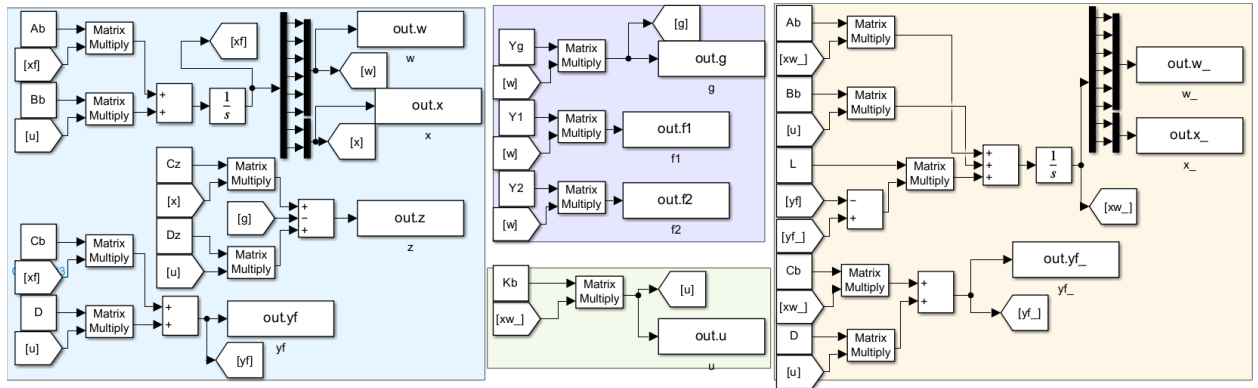


Рисунок 7 — Схема моделирования.

## 2.7 Эталонная модель замкнутой системы

Зададимся эталонной моделью замкнутой системы на основании требований

$$1 < |Re(\lambda_i^*)| < 4, \quad 0 \leq |Im(\lambda_i^*)| < 3 \quad (42)$$



Пусть

$$\lambda_{1,2} = -2.5 \quad (43)$$

Синтезируем компоненту  $K$  регулятора, запишем систему матричных уравнений типа Сильвестра

$$\begin{cases} AP - P\Gamma = BY \\ K = -YP^+ \end{cases} \quad (44)$$

Запишем матрицы  $\Gamma$  и  $Y$

$$\Gamma = \begin{bmatrix} -2.5 & 1 \\ 0 & -2.5 \end{bmatrix}, \quad Y = \begin{bmatrix} 0 & 1 \\ 1 & 1 \end{bmatrix} \quad (45)$$

Проверим условия существования решения уравнения Сильвестра. Спектр матрицы  $A$   $\sigma(A) = \{1, -2\}$  – не пересекается со спектром матрицы  $\Gamma$ . Пара матриц  $(A, B)$  управляема (это было выяснено в ходе выполнения пункта 2.1), проверим наблюдаемость пары  $(Y, \Gamma)$

$$V = \begin{bmatrix} Y \\ Y\Gamma \end{bmatrix} = \begin{bmatrix} 0 & 1 \\ 1 & 1 \\ 0 & -2.5 \\ -2.5 & -1.5 \end{bmatrix} \Rightarrow \text{rank}(V) = 2 \quad (46)$$

Ранг матрицы наблюдаемости равен размерности системы, следовательно, пара  $(Y, \Gamma)$  наблюдаема.

Решим систему уравнений (44)

$$K = \begin{bmatrix} 1.9091 & 0.3182 \\ -1.6591 & -0.5682 \end{bmatrix} \quad (47)$$

## 2.8 Синтез компоненты $K_w$ регулятора

Запишем систему матричных уравнений Франкиса-Дэвисона

$$\begin{cases} P\Gamma_w - (A + BK)P - B_f Y_1 = BK_w \\ (C_z + D_z K)P + D_z K_w = Y_g \end{cases} \quad (48)$$

Запишем условие существования решения относительно  $P$  и  $K_w$

$$\text{rank} \begin{bmatrix} A + BK - I\lambda_{i\Gamma_w} & B \\ C_z + D_z K & D_z \end{bmatrix} = \text{число строк} \quad (49)$$

Проверим, что это условие выполнено для каждого из собственных чисел матрицы  $\Gamma_w$ :

для  $\lambda_1 = -6i$

$$\begin{aligned} \text{rank} \begin{bmatrix} A + BK - I\lambda_{1\Gamma_w} & B \\ C_z + D_z K & D_z \end{bmatrix} &= \\ &= \begin{bmatrix} -1.4091 + 6i & 0.1818 & 1 & 2 \\ -6.5455 & -3.5909 + 6i & -1 & 4 \\ 3.9091 & 0.3182 & 1 & 0 \\ -7.6364 & -1.2727 & 0 & 4 \end{bmatrix} = 4 \quad (50) \end{aligned}$$

для  $\lambda_2 = 6i$

$$\begin{aligned} \text{rank} \begin{bmatrix} A + BK - I\lambda_{2\Gamma_w} & B \\ C_z + D_z K & D_z \end{bmatrix} &= \\ &= \begin{bmatrix} -1.4091 - 6i & 0.1818 & 1 & 2 \\ -6.5455 & -3.5909 - 6i & -1 & 4 \\ 3.9091 & 0.3182 & 1 & 0 \\ -7.6364 & -1.2727 & 0 & 4 \end{bmatrix} = 4 \quad (51) \end{aligned}$$

для  $\lambda_3 = -3i$

$$\begin{aligned} \text{rank} \begin{bmatrix} A + BK - I\lambda_{3\Gamma_w} & B \\ C_z + D_z K & D_z \end{bmatrix} &= \\ &= \begin{bmatrix} -1.4091 + 3i & 0.1818 & 1 & 2 \\ -6.5455 & -3.5909 + 3i & -1 & 4 \\ 3.9091 & 0.3182 & 1 & 0 \\ -7.6364 & -1.2727 & 0 & 4 \end{bmatrix} = 4 \quad (52) \end{aligned}$$

для  $\lambda_4 = 3i$

$$\begin{aligned} \text{rank} \begin{bmatrix} A + BK - I\lambda_{4\Gamma_w} & B \\ C_z + D_z K & D_z \end{bmatrix} = \\ = \begin{bmatrix} -1.4091 - 3i & 0.1818 & 1 & 2 \\ -6.5455 & -3.5909 - 3i & -1 & 4 \\ 3.9091 & 0.3182 & 1 & 0 \\ -7.6364 & -1.2727 & 0 & 4 \end{bmatrix} = 4 \quad (53) \end{aligned}$$

для  $\lambda_5 = -2i$

$$\begin{aligned} \text{rank} \begin{bmatrix} A + BK - I\lambda_{5\Gamma_w} & B \\ C_z + D_z K & D_z \end{bmatrix} = \\ = \begin{bmatrix} -1.4091 + 2i & 0.1818 & 1 & 2 \\ -6.5455 & -3.5909 + 2i & -1 & 4 \\ 3.9091 & 0.3182 & 1 & 0 \\ -7.6364 & -1.2727 & 0 & 4 \end{bmatrix} = 4 \quad (54) \end{aligned}$$

для  $\lambda_6 = 2i$

$$\begin{aligned} \text{rank} \begin{bmatrix} A + BK - I\lambda_{6\Gamma_w} & B \\ C_z + D_z K & D_z \end{bmatrix} = \\ = \begin{bmatrix} -1.4091 - 2i & 0.1818 & 1 & 2 \\ -6.5455 & -3.5909 - 2i & -1 & 4 \\ 3.9091 & 0.3182 & 1 & 0 \\ -7.6364 & -1.2727 & 0 & 4 \end{bmatrix} = 4 \quad (55) \end{aligned}$$

Условие существования решения системы уравнений Франкиса-Дэвисона выполнено. Найдем матрицу  $K_w$

$$K_w = \begin{bmatrix} -0.6367 & -5.1240 & 3.6234 & -1.2662 & 5.6915 & -2.4651 \\ 0.2029 & 2.6764 & -1.9091 & 0.4091 & -1.2514 & 3.0833 \end{bmatrix} \quad (56)$$

## 2.9 Синтез наблюдателей

Синтезируем матрицу наблюдателя  $L$  путем решения уравнения типа Сильвестра

$$\begin{cases} \bar{\Gamma}Q - Q\bar{A} = \bar{Y}\bar{C} \\ L = Q^{-1}\bar{Y} \end{cases} \quad (57)$$

Условия существования решения  $Q$ :  $\sigma(\bar{\Gamma}) \cap \sigma(\bar{A}) = \emptyset$ ,  $(\bar{\Gamma}, \bar{Y})$  – управляема,  $(\bar{C}, \bar{A})$  – наблюдаема.

Составим матрицу наблюдаемости для  $(\bar{C}, \bar{A})$  и найдем ее ранг

$$\text{rank}(V) = \text{rank} \begin{bmatrix} \bar{C} \\ \bar{C}\bar{A} \\ \vdots \\ \bar{C}\bar{A}^7 \end{bmatrix} = 8 \quad (58)$$

Ранг матрицы наблюдаемости равен размерности системы, следовательно, пара  $(\bar{C}, \bar{A})$  – наблюдаема.

Определим спектр матрицы  $\bar{A}$ :

$$\sigma(A) = \begin{cases} \lambda_{1,2} = \pm 6i \\ \lambda_3 = 1 \\ \lambda_4 = -2 \\ \lambda_{5,6} = \pm 2i \\ \lambda_{7,8} = \pm 3i \end{cases} \quad (59)$$

Выберем матрицы  $\bar{\Gamma}$  и  $\bar{Y}$ :

$$\bar{\Gamma} = \begin{bmatrix} -1 & 0 & 0 & 0 & 0 & 0 & 0 & 0 \\ 0 & -1.5 & 0 & 0 & 0 & 0 & 0 & 0 \\ 0 & 0 & -2.5 & 0 & 0 & 0 & 0 & 0 \\ 0 & 0 & 0 & -3 & 0 & 0 & 0 & 0 \\ 0 & 0 & 0 & 0 & -3.5 & 0 & 0 & 0 \\ 0 & 0 & 0 & 0 & 0 & -4 & 0 & 0 \\ 0 & 0 & 0 & 0 & 0 & 0 & -4.5 & 0 \\ 0 & 0 & 0 & 0 & 0 & 0 & 0 & -5 \end{bmatrix}, \bar{Y} = \begin{bmatrix} 1 & 0 \\ 1 & 1 \\ 1 & 1 \\ 1 & 1 \\ 1 & 1 \\ 1 & 1 \\ 1 & 1 \\ 1 & 1 \end{bmatrix} \quad (60)$$

Заметим, что условие  $\sigma(\bar{\Gamma}) \cap \sigma(\bar{A}) = \emptyset$  выполнено, убедимся в том, что  $(\bar{\Gamma}, \bar{Y})$  – управляема: составим матрицу управляемости и найдем ее ранг

$$\text{rank}(U) = \text{rank} \begin{bmatrix} \bar{B} & \bar{A}\bar{B} & \dots & \bar{A}^7\bar{B} \end{bmatrix} = 8 \quad (61)$$

Теперь вычислим матрицу  $L$ , решив систему (57)

$$L = \begin{bmatrix} 2.1641 & 2.1641 \\ -5.5918 & -5.5918 \\ -1.2815 & -1.2815 \\ -0.6785 & -0.6785 \\ 3.6888 & 3.6888 \\ 1.3022 & 1.3022 \\ -8.0848 & -7.4181 \\ -6.0666 & -5.3999 \end{bmatrix} \quad (62)$$

## 2.10 Компьютерное моделирование

Выполним компьютерное моделирование замкнутой системы с нулевыми начальными условиями наблюдателей. Построим график формируемого регулятором управления  $u(t)$  (рисунок 8), графики внешних воздействий  $f_1(t)$  (рисунок 9),  $f_2(t)$  (рисунок 10) и  $g(t)$  (рисунок 11), сравнительные графики векторов состояния системы  $x(t)$  (рисунок 12) и генератора  $w(t)$  (рисунки 13 и 14) и их оценок, а также ошибок оценки  $e(t)$  (рисунок 15) и  $e_w$  (рисунок 16), графики фактического и виртуального (регулируемого) выходов  $y(t)$  (рисунок 17) и  $z(t)$  (рисунок 18)

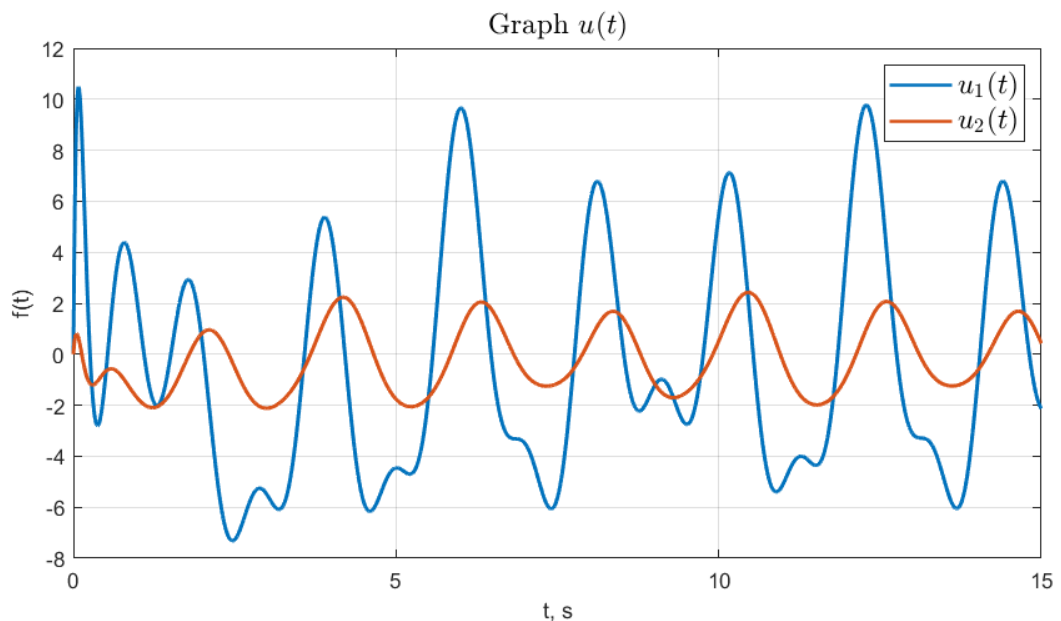


Рисунок 8 — График формируемого регулятором управления  $u(t)$ .

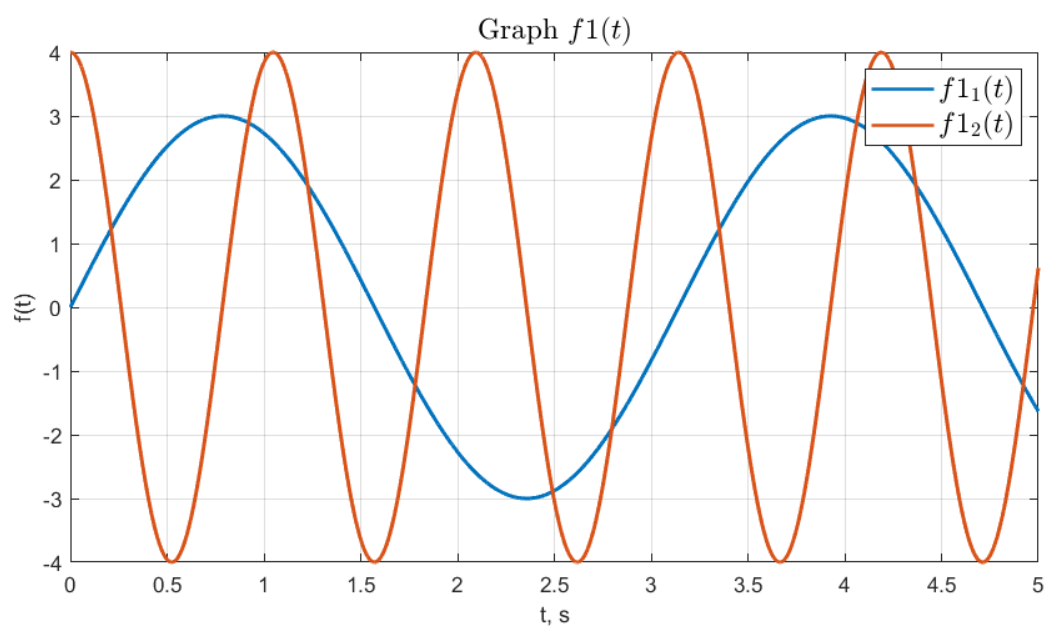


Рисунок 9 — График внешнего воздействия  $f_1(t)$ .

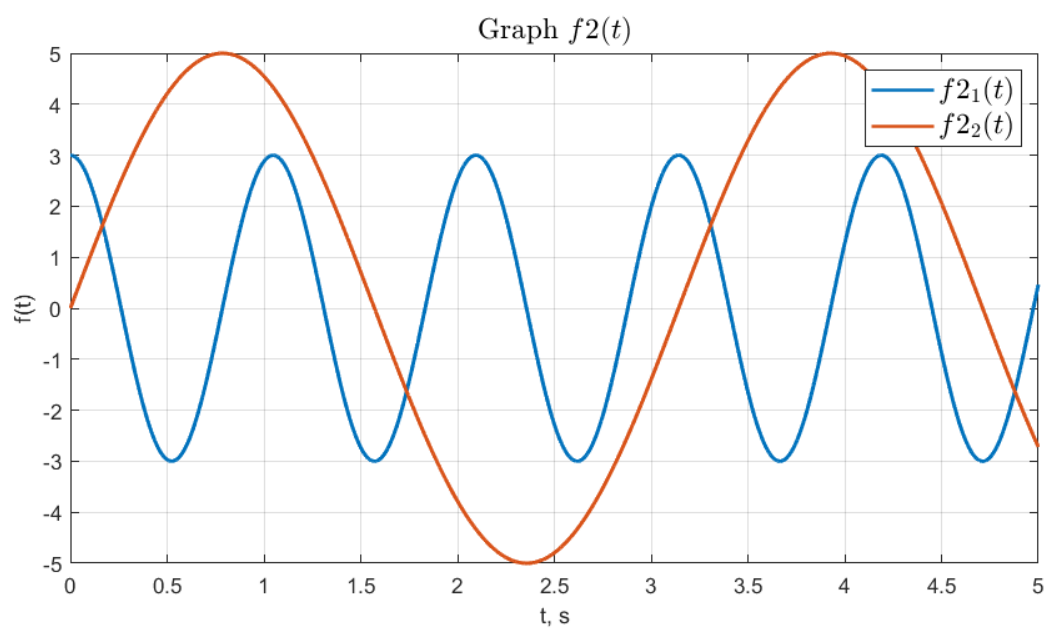


Рисунок 10 — График внешнего воздействия  $f_2(t)$ .

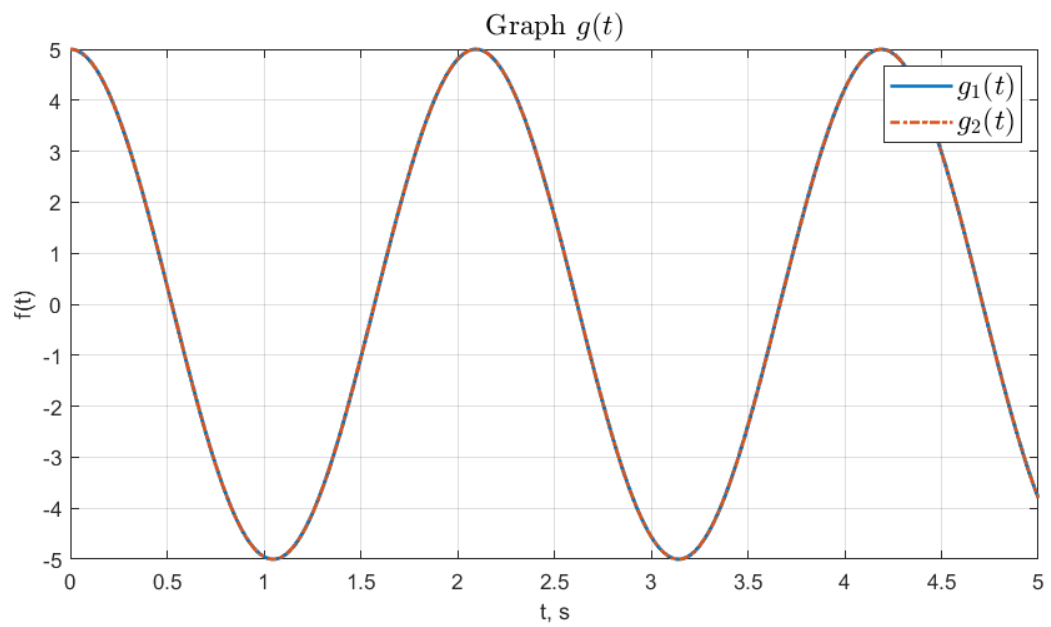


Рисунок 11 — График внешнего воздействия  $g(t)$ .

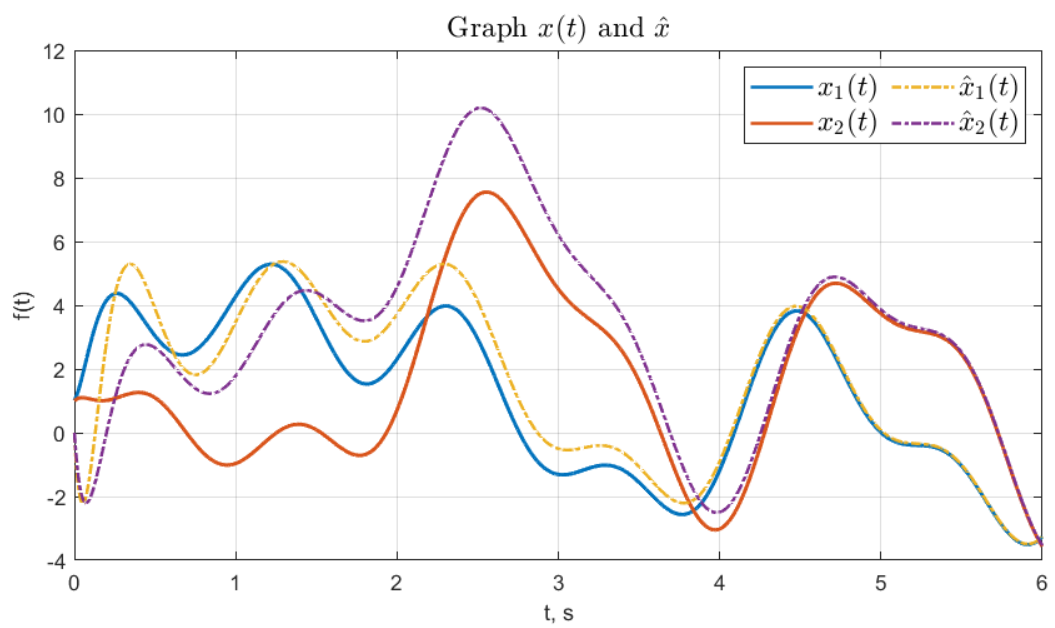


Рисунок 12 — График вектора состояния  $x(t)$  и его оценки  $\hat{x}(t)$ .

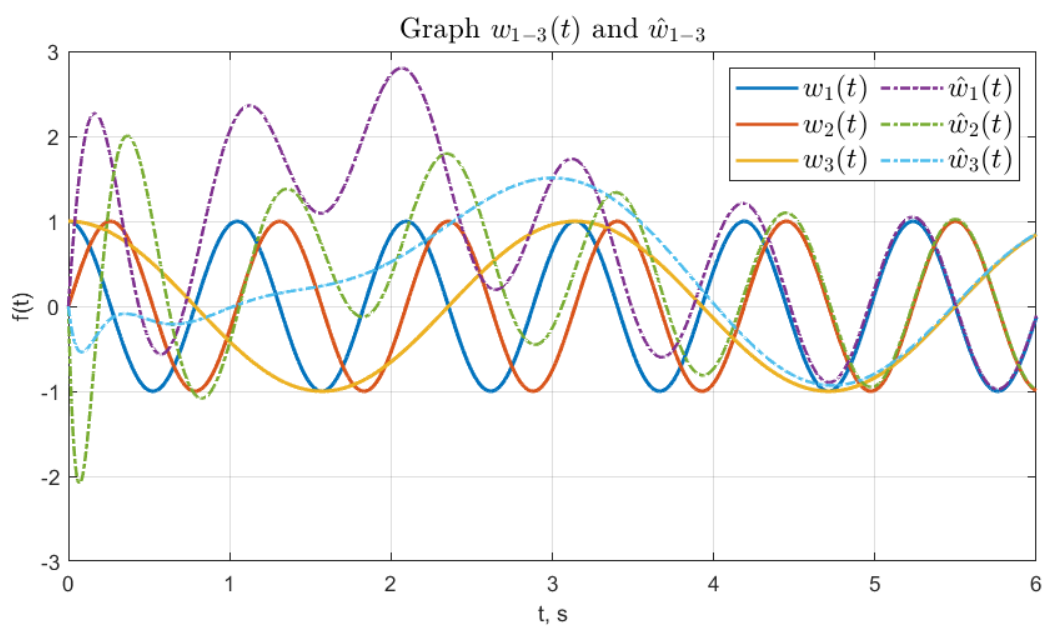


Рисунок 13 — График вектора состояния  $w(t)$  генератора и его оценки  $\hat{w}(t)$  (первые три вектора).

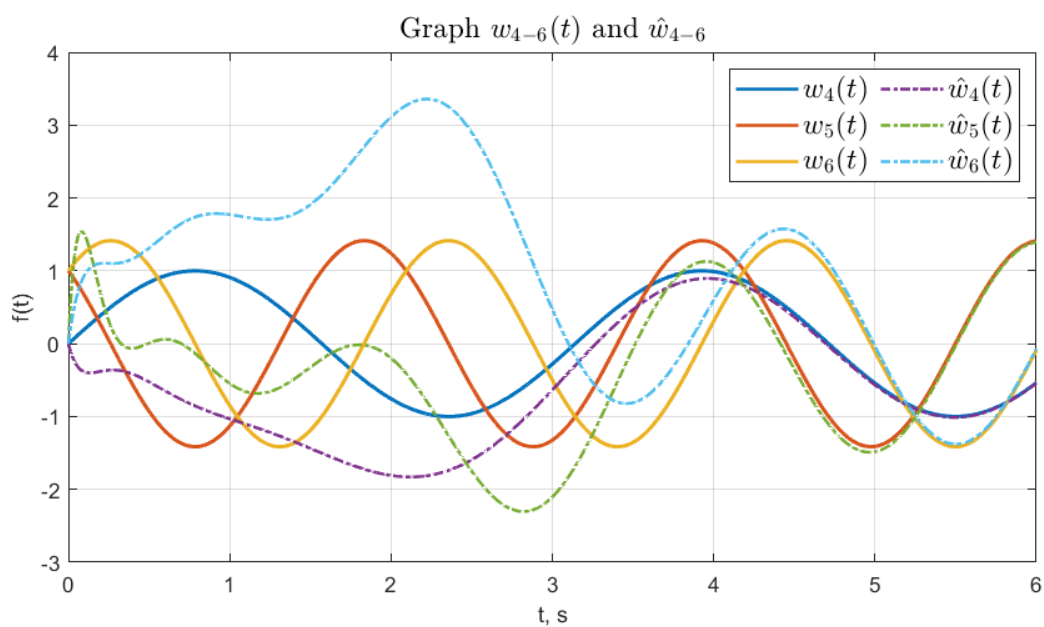


Рисунок 14 — График вектора состояния  $w(t)$  генератора и его оценки  $\hat{w}(t)$  (последние три вектора).



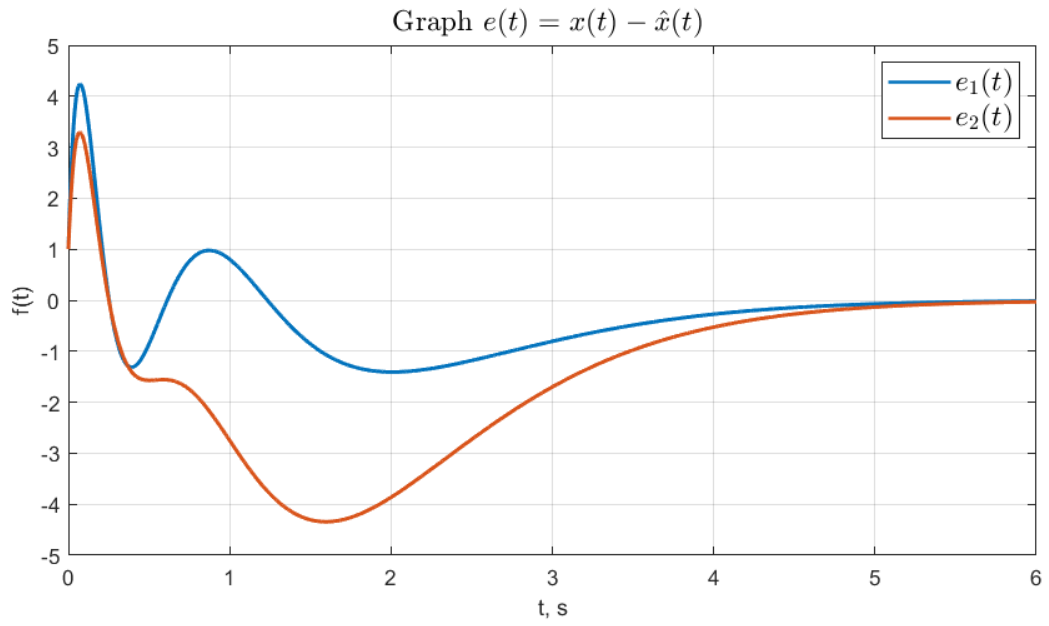


Рисунок 15 — График ошибки  $e(t) = x(t) - \hat{x}(t)$ .

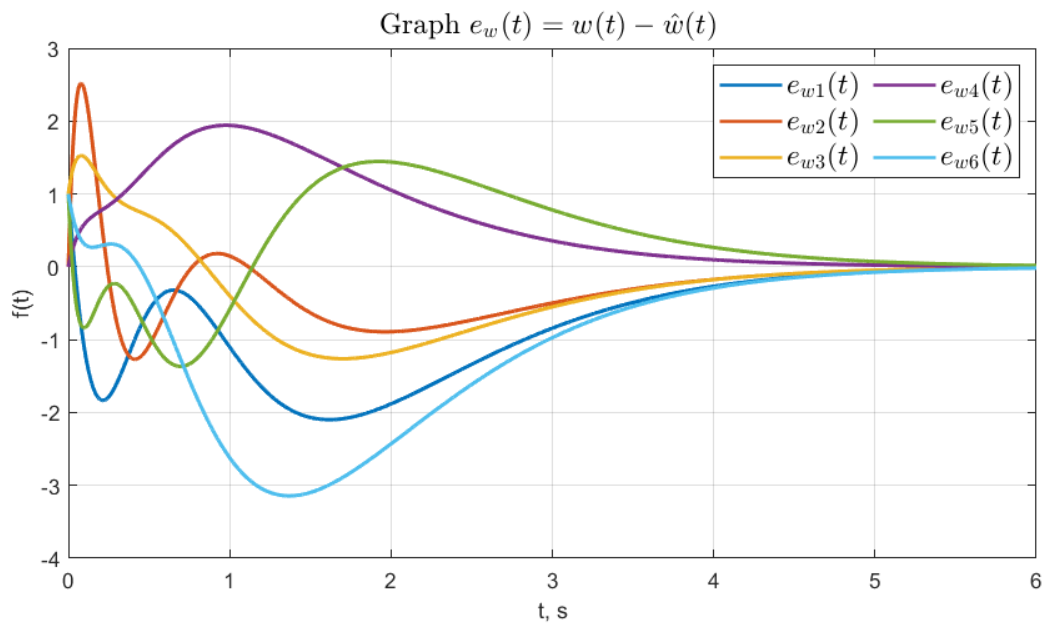


Рисунок 16 — График ошибки  $e_w(t) = w(t) - \hat{w}(t)$ .

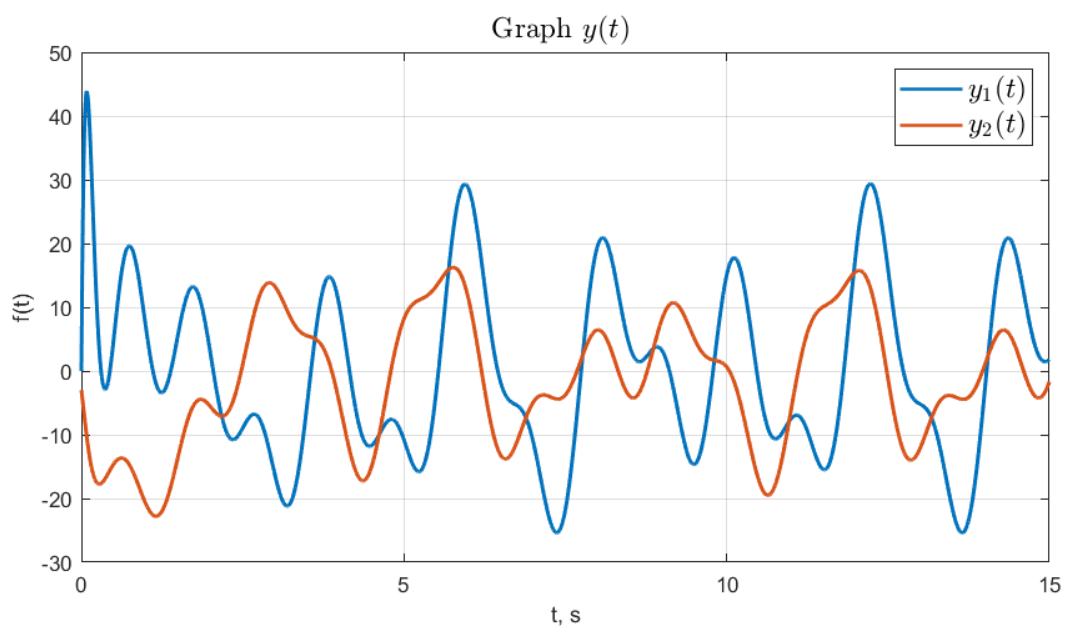


Рисунок 17 — График фактического выхода  $y(t)$ .

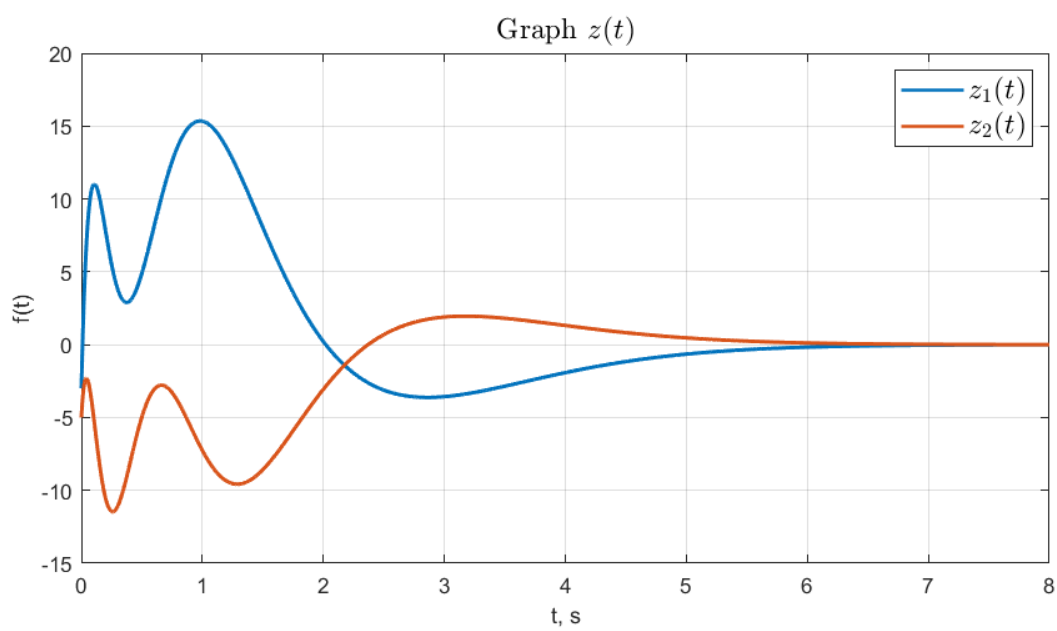


Рисунок 18 — График регулируемого выхода  $z(t)$ .

## 2.11 Анализ результатов

Синтезированное при выполнении задания следящее управление позволило достичь целевого условия (21). Ошибки оценок вектора состояния системы и генератора сходятся к нулю с течением времени.

### 3 ВЫВОД

В ходе выполнения лабораторной работы были применены на практике знания об управлении многоканальной системой. В первой части работы изучена управляемость и наблюдаемость многоканальной системы. Составлена передаточная матрица, на ее основе вычисленны и визуализированы временные и частотные характеристики системы. Во второй части выполнен синтез следящего управления в условиях внешних возмущений для многоканальной системы. Были синтезированны «feedback» и «feedforward» компоненты регулятора, а также построен наблюдатель. Целевое условие было достигнуто, а ошибки между векторами состояния системы и генератора со временем стали неотличимы от нуля.